

## 2 - Sistemas Multivariáveis (ref. SP96, caps. 3 e 4, Ap. A)

### 2.1 Introdução

- 2.1.1 Função de transferência para sistemas MIMO
- 2.1.2 Resposta na frequência para sistemas MIMO

### 2.2 Direcionalidade

- 2.2.1 Decomposição em valores singulares (SVD)
- 2.2.2 Inversa generalizada
- 2.2.3 Número condicionador
- 2.2.4 Normas (norma induzida)

### 2.3 Sistemas lineares

- 2.3.1 Representação em espaço de estados
- 2.3.2 Realização mínima
- 2.3.3 Controlabilidade e observabilidade
- 2.3.4 Pólos e zeros

### 2.4 Estabilidade

- 2.4.1 Estabilidade interna
- 2.4.2 Critério de estabilidade de Nyquist
- 2.4.3 Teorema do "small gain"
- 2.4.4 Representação das incertezas

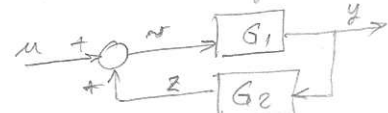
### 2.1 Introdução

#### 2.1.1 Função de transferência para sistemas MIMO

regra da cascata:   $\frac{Y(s)}{U(s)} = G_1(s)G_2(s) = \frac{Y(s)}{U(s)} = G_1(s)G_2(s)U(s)$

$$Z(s) = G_1(s)U(s); \quad Y(s) = G_2(s)Z(s) = G_2(s)G_1(s)U(s)$$

→ a ordem das funções de transferência está no sentido oposto ao fluxo.

regra do feedback:  
$$\frac{Y(s)}{U(s)} = (I - G_1G_2)^{-1}G_1$$

$$V(s) = U(s) + Z(s) \quad \text{e} \quad Y(s) = G_1(s)V(s) = G_1(s)[U(s) + G_2(s)Y(s)] \quad \uparrow$$

$$Z(s) = G_2(s)Y(s)$$

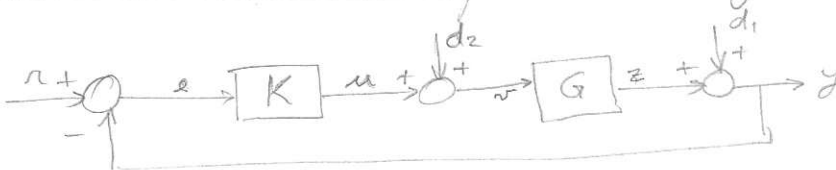
$L(s) = G_2(s)G_1(s) \Rightarrow$  função de transferência através do loop.

$$L(s) = G_2(s)G_1(s) \Rightarrow \frac{Y(s)}{U(s)} = G_1(I - G_2G_1)^{-1}G_1 \Rightarrow \frac{Y(s)}{U(s)} = G_1(I - L)^{-1}$$

NOTA:  $G_1(I - G_2G_1)^{-1} = (I - G_1G_2)^{-1}G_1 \Rightarrow \frac{Y(s)}{U(s)} = G_1(I - L)^{-1}$

Regra MIMO: ex. 3.1 (pag 71)

Sistema de controlo com feedback negativo:



$$\rightarrow r \rightarrow T \rightarrow y$$

$$\rightarrow d_2 \rightarrow S \rightarrow y ; r \rightarrow S \rightarrow e$$

onde

$$S = (I + L)^{-1} \quad \text{é a sensitividade}$$

$$T = I - S = L(I + L)^{-1} = LS = (I + L^{-1})^{-1} \quad \text{é a sensitividade complementar}$$

$L = GK$  é a função de transferência do loop (matriz quadrada).

$$Y(s) = D_1(s) + Z(s) ; \quad Z(s) = G(s)V(s) ; \quad V(s) = D_2(s) + U(s)$$

$$U(s) = K(s)E(s) ; \quad E(s) = R(s) - Y(s)$$

$$Y(s) = D_1 + G[D_2 + K(R - Y)] = D_1 + GD_2 + GK(s)R - GK(s)Y$$

$$(I + L)Y = D_1 + GD_2 + LR \quad D_1 = D_2 = 0 \quad D_2 = R = 0$$

$$\therefore \frac{Y(s)}{R(s)} = L(I + L)^{-1} = T(s) ; \quad \frac{Y(s)}{D_1(s)} = (I + L)^{-1} = S(s)$$

$$\frac{Y(s)}{D_2(s)} = (I + L)^{-1}G = S(s)G(s) \quad D_1 = R = 0$$

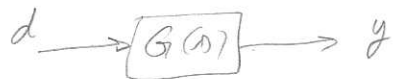
NOTA: • uma função de transferência nunca aparece duas vezes em sequência. Ex:  $G(I + GK)^{-1}$  não existe!

• Se  $A \in \mathbb{R}^{n \times n} \Rightarrow L(s) = G(s)K$  tem  $n$  estados

e  $S = (I + L)^{-1}$  também tem  $n$  estados, mas  $T = LS$  é uma função de transferência com  $2n$  estados (grau do denominador), os passos que  $T = I - S$  tem apenas  $n$  estados  $\Rightarrow$  duas formas diferentes de espaço de estados, mas com o mesmo efeito de  $R(s) \rightarrow Y(s)$ . (duas realizações diferentes no espaço de estados).

realizações

## 2.1.2 Resposta na frequência para sistemas MIMO



$$G(\omega) = \begin{bmatrix} g_{11}(\omega) & g_{12}(\omega) & \dots & g_{1m}(\omega) \\ g_{21}(\omega) & g_{22}(\omega) & \dots & g_{2m}(\omega) \\ \vdots & & & \\ g_{n1}(\omega) & g_{n2}(\omega) & \dots & g_{nm}(\omega) \end{bmatrix}$$

$g_{ij}(i\omega)$  representa a resposta persistente da entrada senoidal no canal  $j$  para a saída  $i$ .

$$d_j(t) = d_{j0} \sin(\omega t + \alpha_j) \Rightarrow y_i(t) = y_{i0} \sin(\omega t + \beta_i)$$

onde o ganho é dado por  $\frac{y_{i0}}{d_{j0}} = |g_{ij}(i\omega)|$   
e o deslocamento de fase é  $\beta_i - \alpha_j = \angle g_{ij}(i\omega)$

Para todos as entradas atuando sobre a saída  $i$  tem-se

$$y_i(i\omega) = \sum_j g_{ij}(i\omega) D_j(i\omega) \quad \text{com a mesma frequência}$$

e para todas as saídas :  $y(i\omega) = G(i\omega) D(i\omega)$

$$y(t) = \begin{bmatrix} y_{10} \sin(\omega t + \beta_1) \\ y_{20} \sin(\omega t + \beta_2) \\ \vdots \\ y_{n0} \sin(\omega t + \beta_n) \end{bmatrix}$$

## 2.2 Direcionalidade

- SP96 - 3.3.2 , ex. 3.3 , Fig. 3.5

- SP96 - 3.3.3 , eq. 3.30

2.2.1 Decomposição em valores singulares (SVD)

- A.3 eigshow :  $x = v_1$  ;  $y = v_2$  ( $x \perp y$ , unitários)  
 $Ax = Ax = \sigma_1 u_1$  ;  $Ay = \sigma_2 u_2$  ( $Ax \perp Ay$ ) , ( $u_1 \perp u_2$ , unitários)

NOTA : matriz quadrada, simétrica e positiva definida  $\Rightarrow \lambda_i = \sigma_i$

- A.3.3

- 3.3.4 , ex. 3.4

- ex 3.6 , 3.7

- sigma.m

- valores principais  
- ganhos principais  
- vetores principais  
- direções principais

$$S = (I + L)^{-1} \quad ; \quad L = GK$$

$$\lambda_i(S) = \frac{1}{1 + \lambda_i(L)}$$

$$\frac{1}{\sigma(L) + 1} \leq \bar{\sigma}(S) \leq \frac{1}{\sigma(L) - 1}$$

## 2.2.2 Inversa generalizada (Pseudo-inversa)

- A.3.8, eq. (A.53), eq. (A.59), eq. (A.61), pim.m  
eq. (A.63)

## 2.2.3 Número condicionador

- A.3.9

- 3.3.4 (pág 51 §2), cond.m

$$\text{ex: } A_2 = [\text{eq. (A.80)}] \Rightarrow \text{cond}(A_2) = 151,92 \quad \left. \begin{array}{l} \\ \end{array} \right\} \text{eq. (A.72)}$$

$$[\text{ub}, D] = \text{mm}(H, \text{ones}(8, 2), 'C') \rightarrow \text{alta precisão} \quad \left. \begin{array}{l} \\ \end{array} \right\} H = \begin{bmatrix} 0 & A_2^{-1} \\ A_2 & 0 \end{bmatrix}$$

$\hookrightarrow$  estrutura  $D_I = \text{inv}(\text{diag}(D(1:4)))$ ;  
 $D = \text{diag}(D_I^{-1}, D_0) \Rightarrow D_0 = \text{diag}(D(5:8))$ ;  $D_I = \text{inv}(\text{diag}(D(1:4)))$ ;  
 $y^* = \text{cond}(D_0 * A_2 * D_I)$ ;  $\text{nd}(D_0 * A_2 * D_I)$ ;

## 2.2.4 Normas

- A.5

- A.5.5

Comentários  
[SP96] 3.3

§2, pág 83

§3, pág 83

§1, pág 84

§5, pág 84

## 2.3 Sistemas lineares

### 2.3.1 Representação em espaço de estados

- 4.1.1

$$- \text{pck.m} \rightarrow G = \begin{bmatrix} A & B \\ C & D \end{bmatrix} \begin{bmatrix} M \\ 0 \\ 0 \\ 0 \end{bmatrix}$$

$$G(D) = C(DI - A)^{-1}B + D$$

$$\text{ex: } \begin{cases} G = \text{pck}(A, B, C, D) \\ w = \text{logspace}(-2, 2, 20) \\ Gw = \text{frsp}(G, w) \\ \text{vplot('bode-g', Gw)} \end{cases}$$

### 2.3.2 Realização mínima

ganho do processo em altas freqüências ( $\omega \rightarrow \infty$ )  
 $(D=0 \Rightarrow G(D) \text{ é estritamente própria})$

Representação em espaço de estados com o menor número de estados, sem modos não observáveis e não controláveis.  
 (estados)

Existe infinitas possibilidades de realizações mínimas para uma mesma  $G$ .

- Fatorização co-prima (4.1.5)
  - identidade de Bezout (eq. 4.19)

Exemplo 4.3 (pág 131)

## 2.3.3 Controlabilidade e observabilidade de estados - 19-

- definição 4.1  
(SP96, 4.2)

- eq. 4.42

- ex. 4.4, 4.5

- definição 4.2 , § 2 pg 137

- ex 4.4 (fazer)

- input-output controlabilidade ?

→ FALAR SIGMA-M  
2.3.4 Pôles e zeros e suas direções

- teorema 4.8 (pôles) , 4.4.2 (\*) , pg 139

- ex 4.7, 4.8

- § \* pag 140

- definição 4.9 (zeros de transmissão ou zeros multivariados)

- 4.5.1. (eq. 4.61, 4.62)

- teorema 4.10

- ex. 4.9, 4.7, 4.10, 4.8

- 4.6.1 (eq. 4.68, 4.69, 4.70)

- ex 4.11

ler 4.6.2

- ex 4.12

\* { pole.m  
zero.m

## 2.4 Estabilidade

### 2.4.1 Estabilidade interna , pg 137

Modo escondido : (Def.4.3) é o estado que não é controlável ou observável.

Sistema estável internamente : (Def.4.4) se nenhum de seus componentes contém modos escondidos e a resposta de uma entrada limitada for limitada.

- Def. 4.5

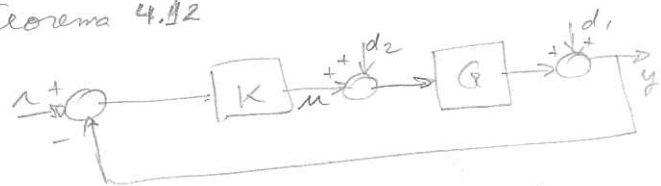
## - Teorema 4.7

- 4.7 (\* pg 148)

Ex 4.15 , pg 149

- Teorema 4.11 , (eq. 4.85) , pg 150

- Teorema 4.12



Se  $G(s)$  tem RHP-zero em  $z \Rightarrow$

se o sistema com "feedback" é estavel internamente e :

$$L = GK, T = L(I + L)^{-1},$$

$$SG = (I + L)^{-1}G, L_I = KG$$

e  $T_I = L_I (I + L_I)^{-1}$  tem RHP-zero em  $z$ .

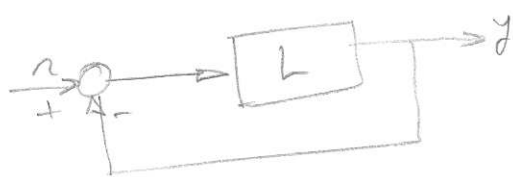
Se  $G(s)$  tem RHP-polo em  $p \Rightarrow$   $L$  e  $L_I$  tem RHP-polo em  $p$

$$e S = (I + L)^{-1}, KS =$$

$$S_I = (I + L_I)^{-1} \text{ tem RHP-zero em } p.$$

## 2.4.2 Criterio de estabilidade

(considerando não haver zero-polo cancelamento)



→ Teorema 4.14 (Nyquist) , pg 158

pólos : malha aberta  $\Rightarrow$  pólos de  $L(s)$

pólos : malha fechada:  $\det(I + L) = 0$

- Ex. 4.17

$$\text{ex: pg 159} \quad \begin{cases} K = 1,14 \dots \\ K = 4,14 \dots \end{cases}$$

## 2.4.3 Teorema do "Small gain"

- Teorema 4.16 , pg 161

$$\begin{aligned} - \Delta x_i = \lambda_i x_i \Rightarrow \|\lambda_i x_i\| &= |\lambda_i| \|x_i\| = \|L x_i\| \leq \|L\| \|x_i\| \\ &\Rightarrow |\lambda_i| \leq \|L\| \Rightarrow \rho(L) \leq \|L\| \end{aligned}$$

- Teorema 4.17

## 2.4.4 Representação das incertezas

- incertezas na entrada :  $\begin{aligned} u_1' &= (1 + \varepsilon_1) u_1 \\ u_2' &= (1 + \varepsilon_2) u_2 \end{aligned}$  valor calculado  
- valor real

ex: SISO 1º ordem:  $\frac{dx}{dt} = ax + bu$ ,  $a < 0$  (estável)  
 $y = cx$

c/ incerteza :  $\begin{cases} \frac{dx}{dt} = ax + b(1+\varepsilon)u \\ y = cx \end{cases}, c > 0$

controle:  $u = -ky$ ,  $k > 0$

$$\therefore \frac{dx}{dt} = [a - b(1+\varepsilon)k c]x < 0 \quad \forall -1 < \varepsilon < \infty$$

ex: MIMO c/ controle diagonal

$$\begin{cases} \frac{dx}{dt} = Ax + Bu \\ y = cx \end{cases}$$

$$B = \begin{bmatrix} b_1 & 0 \\ 0 & b_2 \end{bmatrix}$$

controle:  $u = -Ky$ ,  $K = \begin{bmatrix} k_1 & 0 \\ 0 & k_2 \end{bmatrix}$ ,  $k_1, k_2 > 0$

$$\frac{dx}{dt} = (A - BEKC)x, \varepsilon = \begin{bmatrix} (1+\varepsilon_1) & 0 \\ 0 & (1+\varepsilon_2) \end{bmatrix}$$

$$BEKC = \begin{bmatrix} b_1(1+\varepsilon_1)k_1 & 0 \\ 0 & b_2(1+\varepsilon_2)k_2 \end{bmatrix} \quad C = \begin{bmatrix} 1 & a \\ -a & 1 \end{bmatrix}$$

por exemplo  $A = \begin{bmatrix} 0 & a \\ -a & 0 \end{bmatrix} \Rightarrow \lambda = \pm ai$ ,  $K = \begin{bmatrix} 1 & 0 \\ 0 & 1 \end{bmatrix}$ ;  $B = \begin{bmatrix} 1 & 0 \\ 0 & 1 \end{bmatrix}$   
 $a > 0$  para ser estabilizado

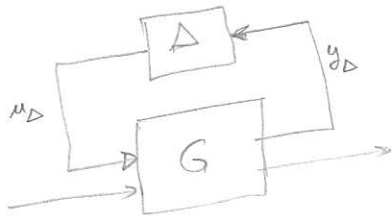
$$A - BEKC = \begin{bmatrix} -(1+\varepsilon_1) & -a\varepsilon_1 \\ a\varepsilon_2 & -(1+\varepsilon_2) \end{bmatrix} \Rightarrow \lambda = -(2+\varepsilon_1+\varepsilon_2) \pm \sqrt{(2+\varepsilon_1+\varepsilon_2)^2 - 4(a^2\varepsilon_1\varepsilon_2 + (1+\varepsilon_1)(1+\varepsilon_2))}$$

instável se  $(1+\varepsilon_1)(1+\varepsilon_2) < -a^2\varepsilon_1\varepsilon_2$

se  $\varepsilon_1 = -\varepsilon_2 \Rightarrow (1-\varepsilon_1^2) < a^2\varepsilon_1^2 \Rightarrow \varepsilon_1^2 > \frac{1}{1+a^2}$   
(instável)

$$a = 100 \Rightarrow |\varepsilon_1| > 0,01$$

- representação generalizada



$\Delta \Rightarrow$  matriz bloco-diagonal que inclui todas as perturbações possíveis para o sistema.  
em geral  $\|\Delta\|_\infty \leq 1$  (normalizada)

Ex: dens-uni.m  $(B(1:2, 1:2) \oplus B(1:2, [1 3]))$

$$\begin{bmatrix} B & AB \\ C & CA \end{bmatrix}$$

- 1) escalarizar controlabilidade e observabilidade
- 2) determinar zeros e polos de  $G$ , e o condicionador
- 3) colocar PI diagonal  $K = \begin{bmatrix} -\frac{s+1}{s} & 0 \\ 0 & \pm \frac{s+2}{s} \end{bmatrix}$
- 4) fazer o gráfico  $\sigma(s), \Im(s)$ ,  $s = (t + L)^{-1}$ , usar sigma  $\Rightarrow \text{sigma}(s, t)$
- 5) fazer o gráfico  $\sigma(t), \Im(t)$ ,  $T = I - s$
- 6) determinar zeros e polos de  $T$
- 7) verificar a estabilidade de  $L$  e  $T$  (usar tfdata)
- 8) testar dens-PI1.m e dens-PI2.m